

九州大学工学部 ○学生員 山下 亮  
正員 内田 一郎  
村田 重之

### 1. まえがき

土構造物の安全をそこなう因子としては諸種の要因が考えられるが、特に土中の水が流動状態にあることにより起る浸透水圧は重要な因子と考えられる。この浸透水圧により、パイピングあるいはボイリングなどの浸透破壊現象が生じ、土構造物などの破壊へつながることがある。このような浸透破壊現象は、初期の段階においては局部的な土粒子の移動に始まると考えられる。この発生条件については、従来から理論並びに実験的研究が行なわれているが、その代表的なものとしてTerzaghiによる限界動水勾配の式がある。

$$\text{限界動水勾配: } i_c = \frac{G_s - 1}{1 + e} \quad \begin{array}{l} G_s: \text{土粒子比重} \\ \text{ここに: } e: \text{間隙比} \end{array}$$

しかし、実際には $G_s$ ,  $e$ 以外の他の因子にも支配されると考えられ、定式化することは容易ではなく、また破壊過程については上式からは必ずしも明らかではない。そこで本研究は粗粒土（砂・ガラスビーズ）を使用し、一次元浸透流を受ける土の限界動水勾配と間隙比の関係、さらに試料長と限界動水勾配の関係、また土圧の測定を行なってボイリングによる破壊過程を追求したものである。

### 2. 試料及び試験方法

試験装置は図-1に示すように内径100mmの透明アクリル円筒管と昇降水槽及び流量、水頭差の計測部からなる。水頭差は、昇降水槽内の水位をコンプレッサーで随時水を供給することにより一定水位に保ちながら、円筒管越流部の水位と昇降水槽の水位との差をとる。試料に通す水は昇降水槽と円筒管の下部をパイプで連結することにより供給した。

試料は円筒管内に多孔板と金網を設け、その上に充填した。用いた試料は豊浦砂、九大砂、しらす、ガラスビーズ（大小2種）の4種である（表-1参照）。試料を完全に飽和させるために

円筒管内を水で満たした後、水中に自然落落下させながら充填し、円筒管側面にハンマーで衝撃を与えることにより試料を適度の間隙比に調整した（しらすを除く）。試料長は15cmを基準とし、5cm毎に打撃を与えた。また試料下面より2.5cm及び12.5cmの地点に土圧計をセットし、各段階毎に圧力を計測した。

実験は前述の試料に鉛直上向きに浸透流を与えて逐々に水頭差をつけ、ボイリングが発生するまで各段階毎に水頭差、圧力及び流量を記録した。ただし、試料が噴流を呈した段階を完全なボイリングの発生とした。

図-1 試験装置の略図

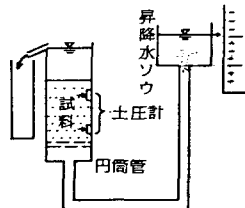


表-1 試料の諸性質

	比重(Gs)	均等係数	粒径範囲(mm)
豊浦砂	2.641	1.35	—
九大砂	2.647	3.14	—
しらす	2.421	11.9	—
ガラスビーズ(大)	2.494	—	0.04~0.59
ガラスビーズ(小)	2.503	—	0.25~0.15

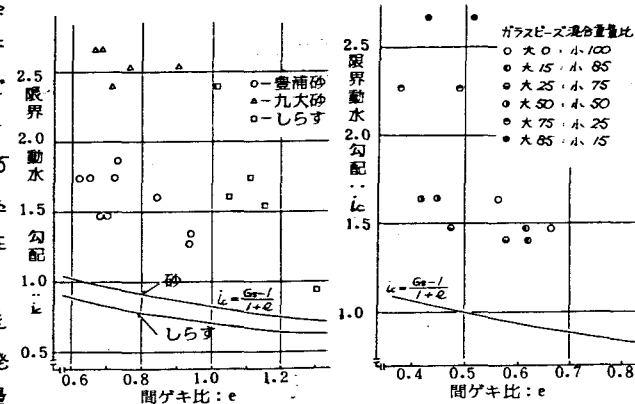


図-2 限界動水勾配と間隙比の関係

図-3 ガラスビーズにおける限界動水勾配と間隙比の関係

### 3. 試験結果と考察

#### (1). 間隙比( $e$ )と限界動水勾配( $i_c$ )の関係

各々の $e$ によるには、千種の試料すべてにおいて Terzaghi の理論値より大きな値を示した(図-2, 図-3 参照)。豊浦砂、九大砂においては、 $i_c$ は Terzaghi の理論式を平行移動させた形、つまり Terzaghi の理論式にある係数  $\alpha$  (豊浦砂で  $\alpha \approx 1.5$ , 九大砂で  $\alpha \approx 2.5$ ) を乗じた値付近に分布した。しらすにおいては、その変化により大きなもの変化があった。またガラスピーズについては、大粒子の混合重量比が 50% 以下あるいは小粒子のみの試料の場合は豊浦砂とほぼ同じ傾向がみられるが、大粒子の混合重量比が 50% を越えると、ボイリングは小粒子が大粒子の間隙をぬって上昇するという形で発生し、大粒子のみの試料になるものはや動水勾配が  $i_c$  以下の範囲内ではボイリングは発生せず、浸透流は大粒子の間隙をぬって試料内を通過する。

#### (2). 試料長( $L$ )と限界動水勾配( $i_c$ )の関係

(1). の試験結果を述べたとおり、 $i_c$  が Terzaghi の理論値より大きな値となった要因を探るべく、ここでは  $L$  と  $i_c$  の関係についてとりあげ、その試験結果を図-4 に示す。図において  $e_{max}$  は自然沈降のみによる最密状態、 $e_{min}$  は各 5 cm 層毎に衝撃を加えた最密状態を示す。図では  $L$  の増加によって  $i_c$  が一次元的に増加する傾向を示しており、しがにに重要な影響をもたらす因子であると考えられる。またこの図で Terzaghi の理論式と一致する  $i_c$  は最密、最密状態を各々約 8 cm, 7 cm である。さらに透水率数も図-5 に示すように  $L$  の影響を受けると考えられる。つまり、粗粒土における  $i_c$  や  $G_s$  以外の因子、特にしなどの因子に大きな影響を受け、Terzaghi の理論値より大小両側の値をとり得る。従って  $i_c$  を評価する際は、しなどの他の因子の影響を加味する必要があると思われる。

#### (3). 動水勾配による土圧の変化について

試料内に試料下面から 2.5 cm と 12.5 cm の地点に土圧計をセットし、圧力を各々の動水勾配について計測した。計測された圧力には次式が成り立つ。

$$(計測された圧力) = (土圧) + (静水圧) + (動水圧)$$

よって、計測された圧力から静水圧、動水圧を減ずることにより、土圧が得られることになる。静水圧は土圧計の水深( $h$ )と、水の単位体積重量( $\gamma_w$ )との積( $\gamma_w h$ )をとり、動水圧は与えられた水頭差( $\Delta H$ )によって起これるのみなし、 $\gamma_w h$  が試料底面から円筒管上部越流面の間に三角形状に分布すると考えた。動水勾配と土圧の関係を図-6 に示す。これによると土圧は動水勾配の増加に従って様々に減少し、 $i_c$  付近で零に達する。これは図-7 において、 $K_0$  が零を示すという事であり、つまり鉛直方向の有効応力  $\sigma'_v$  が浸透圧によって相殺されて零になり、土粒子が浮遊した状態にあることを意味していると考へられる。このように土圧の計測によって、ボイリングの発生過程が一応定量的に明らかにされたといえる。

### 4. おわりに

今後とも、 $i_c$  と他の因子の関係及び  $i_c$  付近における土圧についてさらに考察を加えていきたい。

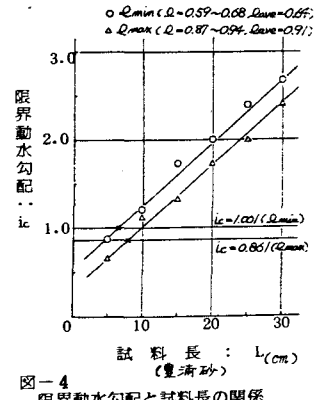


図-4 限界動水勾配と試料長の関係

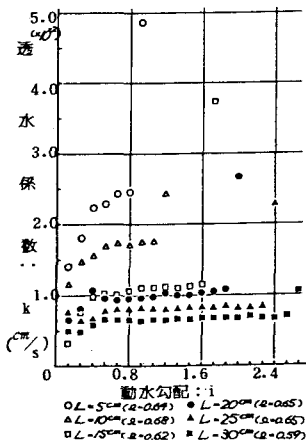


図-5 透水率と動水勾配の関係

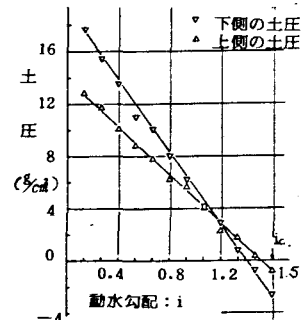


図-6  
土圧と動水勾配の関係  
(豊浦砂,  $e=0.85$   
自然落しによる充てん)

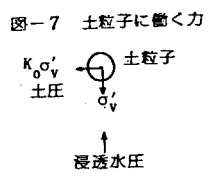


図-7 土粒子に働く力